

где

$$\left. \begin{aligned} T_{II}^2 &= \frac{1}{b_{k1}^2} \left(1 + \frac{4 + \alpha_{11} + \alpha_{12}}{\alpha_{11} + \alpha_{11}\alpha_{12} + \alpha_{12}} \cdot \frac{\pi^2}{4} \right); T_{II2}^2 = \frac{1}{b_{k1}^2} \left(1 + \frac{1}{1 + \alpha_{12}} \cdot \frac{\pi^2}{4} \right) \\ T_{OI}^2 &= \frac{1}{b_{k2}^2} \left(1 + \frac{4 + \alpha_{21} + \alpha_{23}}{\alpha_{21} + \alpha_{21}\alpha_{23} + \alpha_{23}} \cdot \frac{\pi^2}{4} \right); T_{O2}^2 = \frac{1}{b_{k2}^2} \left(1 + \frac{1}{1 + \alpha_{23}} \cdot \frac{\pi^2}{4} \right) \end{aligned} \right\}; \quad (3)$$

$$K_{mI} = \frac{\alpha_{11}(1 + \alpha_{12})}{\alpha_{11} + \alpha_{11}\alpha_{12} + \alpha_{12}}; K_{mO} = \frac{\alpha_{21}(1 + \alpha_{23})}{\alpha_{21} + \alpha_{21}\alpha_{23} + \alpha_{23}}; \quad (4)$$

$b_{k1} = \frac{\pi a_k}{l_{k1}}$; $b_{k2} = \frac{\pi a_k}{l_{k2}}$ - парциальные частоты ветвей подъемных канатов, рад/с.;

$T_\mu = \mu_k$ - коэффициент затухания упругих колебаний;

l_{k1} , l_{k2} - длины ветвей подъемных канатов соответственно со стороны клети и противовеса.

Для стальных канатов $a_k \approx 4000$ м/с; $\mu_k = 0,005 - 0,01$ с.

В формулах (2)...(4) коэффициенты α_{ij} равны отношениям масс m_{k1} ветви l_{k1} и m_{k2} ветви l_{k2} к сосредоточенным массам m_1 , m_2 и m_3 .

Так как согласно рис.2 отношения $F_\Sigma / F_{\text{дин}}$ равно

$$W_{II,O}(p) = \frac{(1 - W_{K1}(p))(1 - W_{K2}(p))}{1 - W_{K1}(p) \cdot W_{K2}(p)}, \quad (5)$$

а в установившемся режиме

$$W_{II,O} = \frac{(1 - K_{mI})(1 - K_{mO})}{1 - K_{mI} \cdot K_{mO}} = \frac{m_1}{m_0},$$

то с учетом затухания колебательного процесса в замкнутой по скорости системе колебания концевых грузов можно рассматривать по отношению к движению канатоведущего шкива [4].

Следовательно, структурная схема позиционного управления клетью упрощается и как показывают исследования и опыт эксплуатации, может быть представлена в виде, показанном на рис.3.

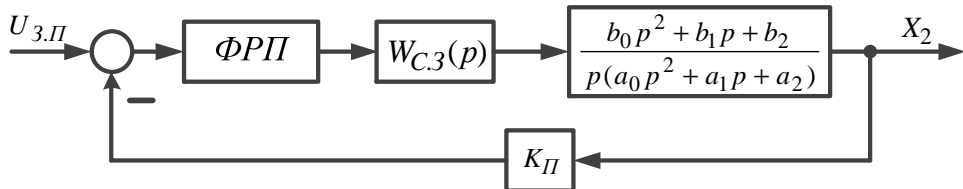


Рисунок 3 – Структурная схема позиционного управления движением клети подъемной установки

Передаточная функция замкнутого контура скорости при настройке регулятора по модульному оптимуму

$$W_{C,3}(p) = \frac{1/K_C}{4T_{II}(p) + 1}, \quad T_{II} - \text{некомпенсируемая постоянная времени тиристорного преобразователя.}$$

Коэффициенты передаточной функции упругой системы: $b_0 = 1 - \frac{\pi^2}{4}$; $b_1 = \mu_k b_{k1}^2$; $b_2 = b_{k1}^2$; $a_0 = 1 + \frac{\pi^2}{4} + \frac{\pi^2}{\alpha_{12}}$;

$$a_1 = \mu_k b_{k1}^2; \quad a_2 = b_{k1}^2.$$

Фаззи-регулятор положения строится на базе ПИД-регулятора с использованием передаточной функции

$$W_p(p) = \frac{K_d p^2 + K_H p + K_I}{p}, \quad (6)$$

где K_d , K_H , K_I - соответственно коэффициенты дифференциальной, интегральной и пропорциональной составляющих.

Если принять $K_d = a_0$, $K_H = a_2$, $K_I = a_1$, а последовательно с регулятором использовать дифференцирующее звено $p/(0,01p + 1)$, то получится расчетная схема системы с корректировкой положения клети, представленная на рис.4.

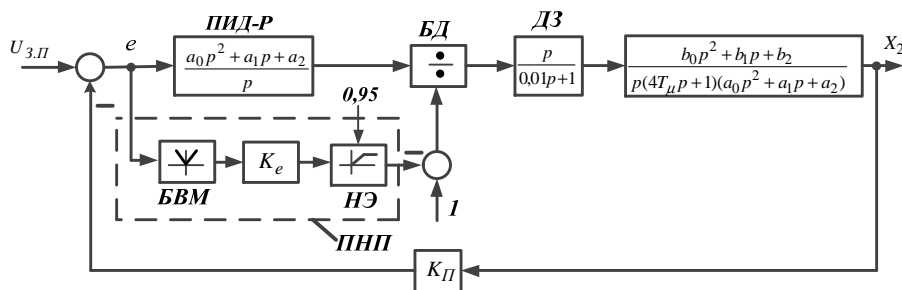


Рисунок 4 – Структурная схема позиционного управления с нечеткой коррекцией

Нечеткая коррекция достигается использованием прямой нелинейной передачи (ПНП). При исключении ПНП структурная схема превращается в обычную с ПИД-регулятором.

Исследование системы управления выполнено с цифровым ПИД-регулятором положения для двух рабочих циклов, соответствующих высотам подъема $H=1400$ м. и $H=500$ м.

На рис. 5 приведены графики изменения перемещения клети при линейно нарастаании с ограничением задающего сигнала $U_{3,П}$. $U_{П1}$ - сигнал перемещения клети при наличии ПНП, $U_{П2}$ - при отсутствии ПНП.

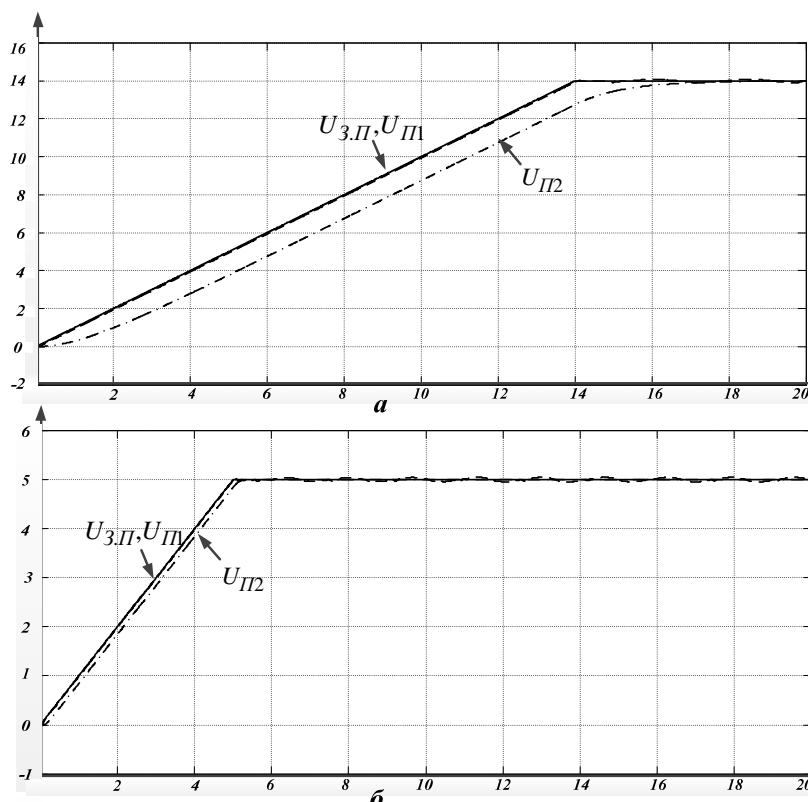


Рисунок 5 – Графики изменения задающего сигнала $U_{3,П}$ и перемещения клети $x_2 = U_{П} / K_{П}$ для двух высот подъема: а - $H=1400$ м., б - $H=500$ м.

зависимо от статической нагрузки остановов клети на заданном уровне обеспечивается системой управления электроприводом, а механический тормоз накладывается на неподвижный орган навивки кантов. Нечеткая коррекция необходима для обеспечения подхода клети к остановке без колебаний относительно канатоведущего шкива. Эффективность нечеткой коррекции как следует из приведенных графиков тем существеннее, чем больше высота подъема. Такая система управления обеспечивает остановку клети на заданном уровне.

ВЫВОДЫ. 1. Современный электропривод позволяет с достаточной точностью формировать заданную диаграмму движения подъемных судов при пуске, замедлении и равномерной скорости при исключении упругих колебаний, особенно при большой глубине шахты. 2. Эта задача легко решается использованием нечеткой коррекции регулятора положения, что обеспечивает реальную возможность осуществлять точную остановку подъемного сосуда без применения жестких посадочных устройств.

Оптимальный динамический режим достигается в случае, если не-
ЛИТЕРАТУРА

1. Тулин В.С. Электропривод и автоматика многоканатных рудничных подъемных машин. – М.: “Недра”, 1964. – 194 с.
2. Чермалых В.М. Оптимизация управления сложными электромеханическими системами, включающими ПИД-регулятор с нечеткой коррекцией / В.М. Чермалых, Е.И. Алтухов, А.В. Данилин, А.В. Босак // Електромеханічні і енергозберігаючі системи. Щоквартальний науково-виробничий журнал. – Кременчук: КрНУ, 2013. – Вип. 2/2013(22), част. 2. – С. 200-204.
3. Чермалых В.М., Родькин Д.Н., Каневский В.В. Системы электропривода и автоматики рудничных стационарных машин и установок. – М.: “Недра”, 1976. – 400 с.
4. . Киричок Ю.Г., Чермалых В.М. Привод шахтных подъемных установок большой мощности. – М.: “Недра”, 1972. – 336 с.